

مقایسه مدل های مختلف رئولوژی لجن های فعال در تانک تهشینی ثانویه استوانه ای

*** شبیدار به کمک مدل سازی CFD**

شهرخ شاه حسینی^(۲)

صغراءباسلی پور^(۱)

چکیده تانک های تهشینی ثانویه در فرآیند تصفیه فاضلاب به روش لجن فعال به منظور جداسازی آب تصفیه شده از توده بیولوژیکی خروجی از تانک هوادهی، مورد استفاده قرار میگیرند. در این تحقیق یک مدل تک فازی، دو بعدی و ناپایا به منظور پیش بینی توزیع غلظت و سرعت در تانک های تهشینی ثانویه ارائه و حل شد. نتایج تطابق خوبی با داده های تجربی نشان داد. با توجه به غیر نیوتونی بودن لجن های فعال و تاثیر آنها بر میدان جریان به دست آمده، مدل های ویسکوゼیته همچون بینگهام، کازن، هرشل بالکلی تعیین یافته، بوكیل و ویسکوゼیته ثابت آب در مدل سازی استفاده شد و نتایج حاصل از آنها مورد مقایسه قرار گرفت. نتایج به دست آمده از مدل های مختلف تنشان می دهد که مدل های غیر نیوتونی، تاثیر بسزایی بر محاسبه توزیع غلظت و سرعت دارند. مدل های بینگهام و کازن به دلیل ارائه کردن تنش های برشی بالاتر نسبت به سایر مدل ها، ارتقای توده لجن را بیشتر از حد واقعی تخمین می زند و نتایج قابل قبولی را ارائه نمی دهند.

واژه های کلیدی فاضلاب، لجن فعال، دینامیک سیالات محاسباتی، سیال غیر نیوتونی، تانک تهشینی

Comparison of Different Rheological Models for Activated Sludge in a Secondary Steep Cylindrical Settling Tank Using CFD Modeling Method

S.Abasali Pour

Sh. Shah Hosseini

Abstract The secondary settling tanks are used in activated sludge wastewater treatment processes to separate treated water from the microbial mass leaving the aeration tank. In this study, a single-phase, 2dimentional, and unsteady state model was presented and solved to predict the concentration and velocity distribution in secondary settling tanks. The results showed a good agreement with the experimental data. Due to the non-Newtonian nature of activated sludge and its influence on the obtained flow field, the viscous models such as Bingham, Casson, modified Herschel-Bulkley, Bokil, and constant water viscosity model were used in modeling and their results were compared. The results obtained from different models show that the non-Newtonian models have a considerable effect on the determination of concentration and velocity distribution. The Bingham and Casson models overestimate the sludge blanket depth due to higher shear stress than other models and don't present acceptable results.

Key Words Wastewater, Activated Sludge, Computational Fluid Dynamics, Non-Newtonian Fluid, Settling Tank.

* نسخه نخست مقاله در تاریخ ۸۹/۱۲/۲۳ و نسخه پایانی آن در تاریخ ۹۰/۶/۸ به دفتر نشریه رسیده است.

(۱) دانشجوی کارشناسی ارشد، دانشکده مهندسی شیمی، دانشگاه علم و صنعت ایران

(۲) نویسنده مسؤول: دانشیار، دانشکده مهندسی شیمی، دانشگاه علم و صنعت ایران

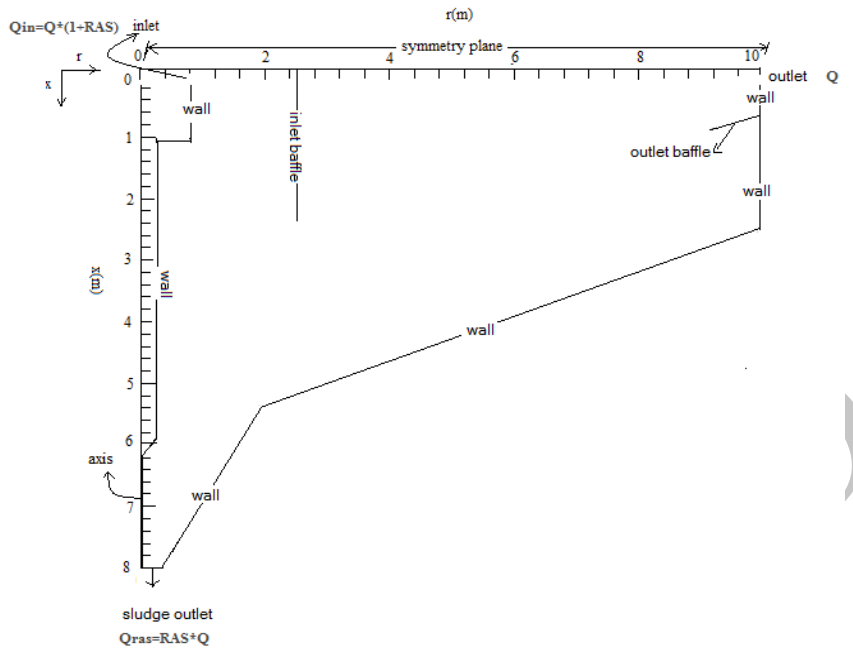
- رفتار کلاریفایر تحت تاثیر حضور جامدات معلق است. بنابراین مدلسازی انتقال سیال نمی‌تواند جدا از انتقال جامدات معلق انجام شود.
- عمومی‌ترین روشی که برای لینک رفتار جامدات معلق و سیال استفاده می‌شود، روش شبیه دوفازی است. در این روش رفتار جامدات از طریق سرعت تهشینی که تابعی از غلظت جامدات معلق است، به حساب آورده می‌شود.
- کلاریفایرها با جریان‌های آشفته سروکار دارند. بنابراین برای اینکه مدلسازی کلاریفایر به نحو مطلوبی انجام گیرد، بایستی از مدل‌های آشفتگی مناسب استفاده کرد که عمومی‌ترین آنها علی‌رغم معایب شناخته شده‌اش، مدل k-ε می‌باشد.
- از آنجا که با افزایش غلظت سیال ویسکوزیته نیز زیاد می‌شود، محققانی همچون لکهال و همکارانش [3]، دی‌کلرک [6] و ویز و همکارانش [7]، زیرمدل-هایی برای در نظر گرفتن این رفتار غیر نیوتونی لجن ارائه دادند. در این مقاله سعی شده تا ضمن ارائه تعدادی از مدل‌های غیر نیوتونی ارائه شده، به مقایسه آنها با هم پرداخته شود. کلاریفایر دایروی شیدار مورد بررسی در این مقاله همان کلاریفایر بکار رفته در کار دی‌کلرک می‌باشد و از داده‌های تجربی ارائه شده توسط وی برای ارزیابی اعتبار مدل استفاده شده است.

مدلسازی

مشخصات هندسی کلاریفایر مورد نظر به همراه شرایط مرزی که در ادامه توضیح داده می‌شود، در شکل (۱) آورده شده است. در شکل (۱)، Q_{in} دبی سیال ورودی RAS به تانک، Q دبی جریان سرریز خروجی، و نسبت جریان لجن فعال بازگشتی را نشان می‌دهد.

مقدمه

タンک‌های ته نشینی نهایی که در واحدهای تصفیه فاضلاب به دنبال راکتورهای هوازی قرار می‌گیرند، یک جزء اصلی از فرآیند تصفیه لجن فعال را تشکیل می‌دهند. در این تانک‌ها جداسازی سیال تصفیه شده از لجن فعال، به واسطه ته نشینی تحت تاثیر نیروی ثقل صورت می‌گیرد. از آنجا که این تانک‌ها تقریباً یک چهارم هزینه سرمایه گذاری کل واحد تصفیه پساب را تشکیل می‌دهند، بنابراین ارزیابی عملکرد آنها از اهمیت بسزایی برخوردار است [۱]. مدل‌های دینامیک سیالات محاسباتی می‌توانند برای کلاریفایرها ثانویه به منظور شبیه سازی هیدرودینامیک سیال مورد استفاده قرار گیرند. بخصوص در ۳۰ سال اخیر، پیشرفت‌های قابل توجهی در دینامیک سیالات محاسباتی (CFD) (Computational Fluid Dynamics) صورت گرفته که امکان ارائه میدان‌های سرعت و غلظت را به صورت چند بعدی فراهم می‌کند. نخستین مطالعه بر روی کلاریفایرها نهایی بر مبنای اصول CFD، توسط لارسن صورت گرفت [۲]. وی شبیه سازی عددی دو بعدی را برای کلاریفایر ثانویه در شرایط آب و یا غلظت جامدات خیلی کم به طوری که بتوان تاثیر جامدات را در میدان جریان ناچیز شمرد، انجام داد. شامبر و لارک، از مدل k-ε برای شرایط آب تمیز استفاده کردند [۳] و آدامز و رودی به منظور تکمیل کار آنها، اثرات شناوری را به مدل مذکور اضافه کردند [۴]. همچنین لین و همکارانش تاثیر لخته سازی را روی کلاریفایرها نهایی و میدان جریان مورد بحث قرار دادند [۵]. در سال‌های گذشته، مدلسازی تانک‌های ته نشینی به پیشرفت‌های قابل توجهی رسیده است. با توجه به مدلسازی‌های انجام شده تا کنون، می‌توان نتایج کلی زیر را ارائه کرد:



شکل ۱ هندسه کلاریفایر ثانویه استوانه‌ای شبیدار

(۳)

$$\begin{aligned} \frac{\partial}{\partial t}(up) + \frac{\partial}{\partial y}(vup) + \frac{1}{r} \frac{\partial}{\partial r}(ruup) \\ = \frac{\partial}{\partial y}[\rho v_{eff} \left(\frac{\partial u}{\partial y} \right)] + \frac{1}{r} \frac{\partial}{\partial r}[\rho v_{eff} \left(\frac{\partial u}{\partial r} \right)] \\ - \frac{\partial p}{\partial r} - \frac{\rho u}{r^2} \end{aligned}$$

معادله پیوستگی با رابطه (۱) و معادلات مومنتوم در راستای محور وشعاع به ترتیب با روابط (۲) و (۳) بیان می‌شوند. این معادلات در ترم‌های متغیرهای متوسط جریان ارائه شده‌اند، که u و v به ترتیب سرعت‌های متوسط جریان در راستای شعاع و محور می‌باشند. همچنین t زمان، P فشار، ρ دانسیته مخلوط، g ثابت شتاب گرانشی، v_{eff} ویسکوزیته موثر (مجموع ویسکوزیته آشفته و ویسکوزیته مولکولی) می‌باشد. در این معادلات دانسیته مخلوط سیال به صورت تابعی از غلظت لجن می‌باشد که از رابطه (۴) محاسبه می‌شود:

معادلات حاکم. به منظور مدلسازی ریاضی فرآیند از معادلات بقاء ممتم و جرم کمک گرفته می‌شود. در اینجا از تغییرات دمایی و همچنین فرآیند لخته سازی که منجر به اندازه مختلف ذرات در کلاریفایرها خواهد شد، صرفنظر شده است. همچنین گرچه در نزدیکی ورودی کلاریفایر اثرات سه بعدی حاکم است، برای سادگی کار از مدلسازی دو بعدی استفاده شده است. معادلات ناویر استوکس برای جریان دو بعدی، متقارن محوری، ناپایا، دانسیته لایه‌ای و آشفته در زیر ارائه شده است.

$$\frac{\partial \rho}{\partial t} + \frac{\partial(\rho v)}{\partial y} + \frac{\partial(\rho u)}{\partial r} + \frac{\rho u}{r} = 0 \quad (1)$$

(۲)

$$\begin{aligned} \frac{\partial}{\partial t}(vp) + \frac{\partial}{\partial y}(vvp) + \frac{1}{r} \frac{\partial}{\partial r}(rvp) \\ = \frac{\partial}{\partial y}[\rho v_{eff} \left(\frac{\partial v}{\partial y} \right)] + \frac{1}{r} \frac{\partial}{\partial r}[\rho v_{eff} \left(\frac{\partial v}{\partial r} \right)] \\ - \frac{\partial P}{\partial y} - \rho g \end{aligned}$$

استاندارد بوده است. در این مدل ویسکوزیته آشفته به عنوان تابعی از انرژی جنبشی آشفتگی، k ، و نرخ اتلاف آن، ϵ ، در نظر گرفته می‌شود (معادله ۶).

معادلات مرتبط در زیر ارائه شده اند.

$$\frac{\partial v_t}{\partial t} = c \mu \frac{k^2}{\rho k + \frac{1}{r} \frac{\partial r}{\partial t} (k \rho r)} \quad (6)$$

$$+ \frac{\partial}{\partial x} (rv_k \rho) = \frac{1}{r} \frac{\partial}{\partial r} [r \rho (v + \frac{v_t}{\sigma_k}) \frac{\partial k}{\partial r}] \\ + \frac{\partial}{\partial x} [\rho (v + \frac{v_t}{\sigma_k}) \frac{\partial k}{\partial x}] \quad (7)$$

$$+ P_s + G - \rho \epsilon;$$

$$\frac{\partial}{\partial t} (\rho \epsilon) + \frac{1}{r} \frac{\partial}{\partial r} (\epsilon u \rho r) \\ + \frac{\partial}{\partial y} (v \epsilon \rho) = \frac{1}{r} \frac{\partial}{\partial r} [r \rho (v + \frac{v_t}{\sigma_\epsilon}) \frac{\partial \epsilon}{\partial r}] \\ + \frac{\partial}{\partial x} [\rho (v + \frac{v_t}{\sigma_\epsilon}) \frac{\partial \epsilon}{\partial x}] \\ + C_{1\epsilon} \frac{\epsilon}{k} - C_{2\epsilon} \rho \frac{\epsilon^2}{k}; \quad (8)$$

$$P_s = \mu_t [2(\frac{\partial u}{\partial x})^2 + 2(\frac{\partial v}{\partial r})^2 \\ + 2(\frac{v}{r})^2 + (\frac{\partial u}{\partial r} + \frac{\partial v}{\partial y})^2] \quad (9)$$

$$G = - \left| \beta g \frac{v_t}{\sigma_t} \frac{\partial \rho}{\partial x} \right| \quad (10)$$

که در آن P_s ، تولید انرژی جنبشی آشفتگی در نتیجه گرادیان متوسط سرعتی است که بواسطه برش ایجاد می‌گردد و G ، متناظر با تولید انرژی جنبشی آشفتگی بواسطه شناوری است و σ_k ، σ_ϵ و C_1 و C_2 ثوابت تجربی هستند که به صورت زیر در نظر گرفته شده‌اند.

$$C_1 = 1.44, \quad C_2 = 1.92, \quad \sigma_\epsilon = 1.3, \quad \sigma_k = 1.0$$

شرط تقارن محوری برای سطح آزاد

$$\rho = \rho_r + C(1 - S_s^{-1}) \quad (4)$$

که در آن C غلظت ذرات جامد و S_s چگالی مخصوص ذرات جامد می‌باشد که مقدار $1/45$ برای آن انتخاب شده است [6]. همچنین ρ_r دانسیته آب می‌باشد. عبارت آخر در معادله (۲) اثرات شناوری را روی میدان جریان وارد می‌کند به طوریکه میدان جریان و غلظت به واسطه این عبارت به هم کوپل می‌شوند. معادله انتقال ذرات به صورت رابطه (۵) ارائه می‌شود:

$$\frac{\partial}{\partial t} (\rho \varphi) + \frac{\partial}{\partial y} (\pi \rho \varphi) + \frac{1}{r} \frac{\partial}{\partial r} (\rho v \rho \varphi) \\ = \frac{\partial}{\partial y} \left[\frac{v_{\text{ذرات}}}{\sigma_{\sigma_y}} \left(\frac{\partial (\rho \varphi)}{\partial y} \right) - \rho \varphi \pi_s \right] \\ + \frac{1}{r} \frac{\partial}{\partial r} \left[\frac{\rho v_{\text{ذرات}}}{\sigma_{\sigma_r}} \left(\frac{\partial (\rho \varphi)}{\partial r} \right) \right]; \quad (5)$$

که در آن φ کسر جرمی جامدات را بیان می‌کند، بطوری که غلظت جامدات حاصلضرب دانسیته در کسر جرمی جامدات می‌باشد. عدد اشمتیت، σ_s ، توصیف‌کننده انتقال آشفته جامدات است که محققان مختلف عموماً مقداری بین $0/5$ و 1 را برای آن در نظر می‌گیرند؛ در اینجا با مقدار 1 برای هر دو راستای شعاعی و محوری نتایج قابل قبولی بدست آمد. همچنین v ، تابع سرعت ته نشینی ذره است که تابعی از غلظت ذرات جامد دارد و در ادامه مورد بحث قرار خواهد گرفت. در معادله (۵)، v_{eff} ویسکوزیته موثر است که به صورت مجموع ویسکوزیته مولکولی و آشفته در نظر گرفته می‌شود.

در تانک‌های ته نشینی با وجود سرعت‌های کم موجود در تانک، به دلیل ابعاد بزرگ با آشفتگی مواجه هستیم. بنابراین علاوه بر معادلات ارائه شده نیاز به مدل‌سازی آشفتگی نیز داریم. راه‌های مختلفی به منظور در نظر گرفتن آشفتگی ارائه شده است. تاکنون عمومی‌ترین و معتبرترین مدل آشفتگی مدل $k-\epsilon$

تاكاس و همكاران با در نظر گرفتن دو نکته فوق، مدلی را ارائه کردند که اثرات برهم کنش ذرات و تجمع ذرات با سرعت سقوط بالا در کف تانک، یعنی نواحی با غلظت بالا، در بر می‌گرفت. این مدل به صورت معادله‌ایی دارای دوتابع نمایی رابطه (۱۲) ارائه شد [۸]:

$$V_s = V_0 [\exp(-r_h(C - C_{min})) - \exp(-r_p(C - C_{min}))] \quad (12)$$

که در معادله فوق V_0 حداکثر سرعت تهشیینی ذره (سرعت تهشیینی ذره در آب تمیز) است که از قانون استونکس بدست می‌آید و C_{min} غلظت جامدات غیرقابل تهشیین، r_p پارامتر مشخص کننده ناحیه تهشیینی مجزا و r_h پارامتر مشخص کننده ناحیه تهشیینی بازداشت می‌باشد. پارامترهای معادله (۱۲) برای لجن مورد استفاده در این مقاله در جدول (۱) ارائه شده‌اند [۸].

جدول ۱ پارامترهای معادله سرعت تهشیینی [۸]

$V[m/hr]$	$r_h [l/g]$	$r_p [l/g]$	$C_{min}[g/l]$
۱۹/۸۸	۰/۲۶	۳/۸۹	۰/۰۱۴

رئولوژی لجن فعال. رئولوژی لجن تغییر شکل جسم تحت تاثیر استرس را توصیف می‌کند. محققان بسیاری به بررسی مدل‌های سیال غیر نیوتونی در لجن فعال پرداخته‌اند و غلظت را به عنوان مهمترین پارامتر در محاسبه ویسکوزیته لجن معرفی کردند. در عین حال بیان داشتند که این پارامتر به تنها یکی کافی نیست. بنابراین پارامترهای دیگری نیز بررسی شد ولی در نهایت استفاده از غلظت جامدات عملی‌ترین و ساده‌ترین راه جهت محاسبه ویسکوزیته جریان لجن می-

بکار گرفته شده است که به معنی در نظر گرفتن مقدار صفر برای مؤلفه سرعت عمودی و گرادیان سرعت افقی می‌باشد. قابل ذکر است که در نتیجه بکارگیری این شرط، از اثرات باد و موج‌های سطحی بر میدان جریان چشم پوشی می‌شود. در شرط مرزی ورودی، معمولاً یک جریان ورودی یکدست در نظر گرفته می‌شود که در آن سرعت افقی ورودی به بزرگی u_{in} و پروفایل غلظت C_0 برقرار است. انرژی جنبشی آشفتگی برابر ۱۰٪ مریع سرعت ورودی در نظر گرفته می‌شود و نرخ اتلاف نیز از معادله (۱۱) محاسبه می‌گردد.

$$\epsilon = c^{3/4} \frac{k^{3/2}}{\mu^{\frac{1}{m}}} \quad (11)$$

مقادیر در خروجی با درونیابی از قلمرو محاسباتی، بدست می‌آیند. دیواره‌ها نیز به عنوان شرط مرزی غیرقابل نفوذ عمل می‌کنند و شرط عدم لغزش برای سرعت و گرادیان غلظت صفر در دیواره‌ها بکار گرفته می‌شود. توابع استاندارد دیواره نیز برای مدلسازی آشفتگی بکار گرفته می‌شوند.

سرعت تهشیینی ذرات. به منظور ایجاد یک مدل مناسب برای سرعت تهشیینی باقیستی دو واقعیت مهم را در نظر داشت:

- ذرات با سرعت سقوط زیاد، در نواحی با غلظت بالا، یعنی نزدیک کف تانک وجود دارند و ذرات با سرعت سقوط پایین‌تر، نواحی با غلظت کم یعنی در نزدیکی سطح تانک را اشغال می‌کنند.
- غلظت زیاد ذرات، برهم کنش بین آنها را افزایش می‌دهد و سبب کاهش سرعت تهشیینی ذرات می‌گردد.

ترتیب $9.71 \times 10^{-4} \text{ kg/m.s}^2$ و $0.98 \text{ m}^3/\text{kg}$ می‌باشد. مدل هرشل بالکلی (مدل شبه پلاستیک) نیز از جمله مدل‌هایی است که در تعیین ویسکوزیته لجن فعال بکار گرفته شده است. دی‌کلرک، مدل هرشل بالکلی اصلاح شده را به صورت زیر معرفی کرد [6]:

$$\mu_p = \frac{\tau_{HB}}{\gamma} (1 - e^{-m\gamma}) + \mu_{HB} \gamma^{n-1} \quad (18)$$

در معادله (18)، τ_{HB} و μ_{HB} تنش تسليم و ویسکوزیته هرشل بالکلی می‌باشند که به ترتیب در معادلات (۱۹) و (۲۰) آمده‌اند.

$$\tau_{HB} = \beta_1 C^{\beta_2} \quad (19)$$

$$\mu_{HB} = \mu_w + c_{pl} C^2 \quad (20)$$

که در آن β_1 و β_2 به ترتیب 9.0364×10^{-4} و 0.7748 ، $m=169.47$ ، $n=0.7748$ و $c_{pl}=2.49338 e^{-4} \text{ m}^5/\text{kg.s}^2$ ثابت‌های معادله هستند. مهمترین ویژگی کار دی‌کلرک این بود که نشان داد که با استفاده از این مدل در نرخ‌های برش کم، تنش تسليم ظاهر نخواهد شد و این مدل می‌تواند به خوبی برای لجن‌های فعال درون تانک‌های ته نشینی بکار گرفته شود.

یکی دیگر از مدل‌هایی که جهت جریان لجن فعال بکار گرفته می‌شود، مدل کازن می‌باشد. ارتباط بین تنش برشی و نرخ برش در نرخ‌های برش کمتر از 50 s^{-1} از مدل کازن پیروی می‌کند. معادله کازن برای ویسکوزیته لجن به صورت رابطه (۲۱) نوشته می‌شود

$$\mu_B = \mu_w + c_{pl} C^2 \quad (16)$$

یکی از مدل‌هایی که به صورت متداول به عنوان

مدل رئولوژیکی لجن فعال استفاده می‌شود مدل بوکیل می‌باشد. در این مدل ویسکوزیته ظاهری به صورت توانی به غلظت جامدات وابسته است. بوکیل معادله (۱۳) را پیشنهاد کرد. قابل ذکر است که معادله فوق برای غلظت جامدات بالای $g/l^{0.7}$ می‌باشد. از این نظر، لکهال و همکارانش به صورت خطی این معادله را به ویسکوزیته آب در غلظت جامدات صفر بروند. بروند یابی ارائه شده توسط لکهال و همکارانش در معادله (۱۴) ارائه شده است [3].

$$\frac{\tau}{\gamma} = 0.00327 \times 10^{0.132C} \quad (13)$$

$$\mu = 0.001 + (0.003045/0.7) \times C \quad (14)$$

که در این معادلات τ نرخ برشی و C تنش برش می‌باشد. مدل بینگهام نیز از جمله مدل‌هایی است که توسط محققانی همچون لکهال و همکارانش بکار گرفته شده است. در این مدل تنش برشی سیال به صورت معادله (۱۵) نوشته می‌شود:

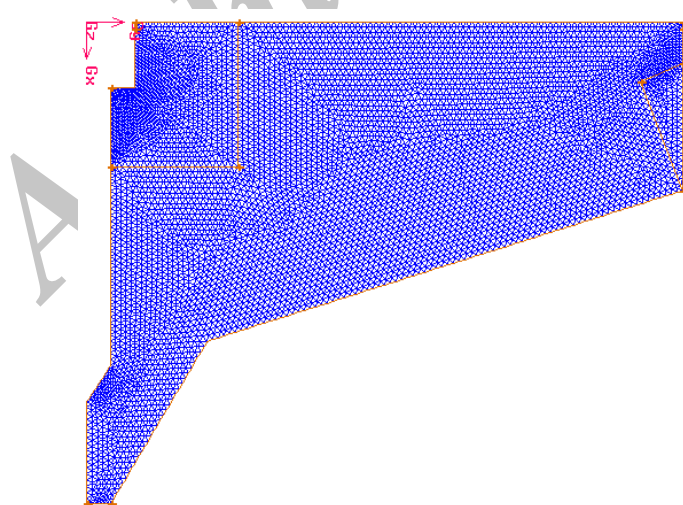
$$\tau = \tau_B + \mu_B \gamma \quad (15)$$

در این رابطه، τ تنش تسليم بینگهام و μ_B ویسکوزیته بینگهام است که به ترتیب با معادلات (۱۶) و (۱۷) محاسبه می‌شوند.

$$\tau_B = \beta_1 \exp(\beta_2 C) \quad (17)$$

در معادله (۱۶)، $c_{pl}=2.437 \times 10^{-4} \text{ m}^5/\text{kg.s}^2$ یک ثابت می‌باشد و μ_w ویسکوزیته آب تیز است. در معادله (۱۷)، β_1 و β_2 ثابت‌هایی هستند که به طبیعت لجن وابسته‌اند. با توجه به کار لکهال، این ثابت‌ها به

روش حل. معادلات حاکم در مسئله مورد نظر به منظور یافتن مؤلفه‌های سرعت و غلظت بر روی یک شبکه جابجا شده به روش حجم محدود حل شده‌اند. از طرح کوئیک (Quick) به دلیل دقت بالاتر در مسائل با سایز مش بزرگتر و پایداری بیشتر در مسائل جریان-دانسیته (Density current) برای منفصل سازی ترم‌های جابجایی استفاده شده است. الگوریتم PISO به منظور اجتناب از واگرایی‌های عددی برای کوپل کردن (Coupling) معادلات سرعت-فشار بکار گرفته شده است. همچنین برای رسیدن به همگرایی از ضرایب ترمیم مناسب بهره گرفته شده است. معیار همگرایی در اینجا 10^{-4} می‌باشد. به منظور جلوگیری از واگرایی، در ابتدای حل گام زمانی را از مرتبه 10^{-3} در نظر گرفته و با پیشرفت حل افزایش داده می‌شود. همچنین حل اولیه ابتدا با تانک حاوی سیال تمیز انجام می‌گیرد. به دلیل حضور دیواره‌های ناموازی در هندسه تانک، جهت سادگی از مش‌بندی غیر منظم مثلثی استفاده شد که در شکل (۲) نشان داده شده است.



شکل ۲ هندسه مش‌بندی شده تانک ته نشینی

صورت مربعی به غلظت وابسته است [7].

$$\mu_p = \left(\frac{K_1}{\gamma^{1/2}} + K_2 \right)^2 \quad (21)$$

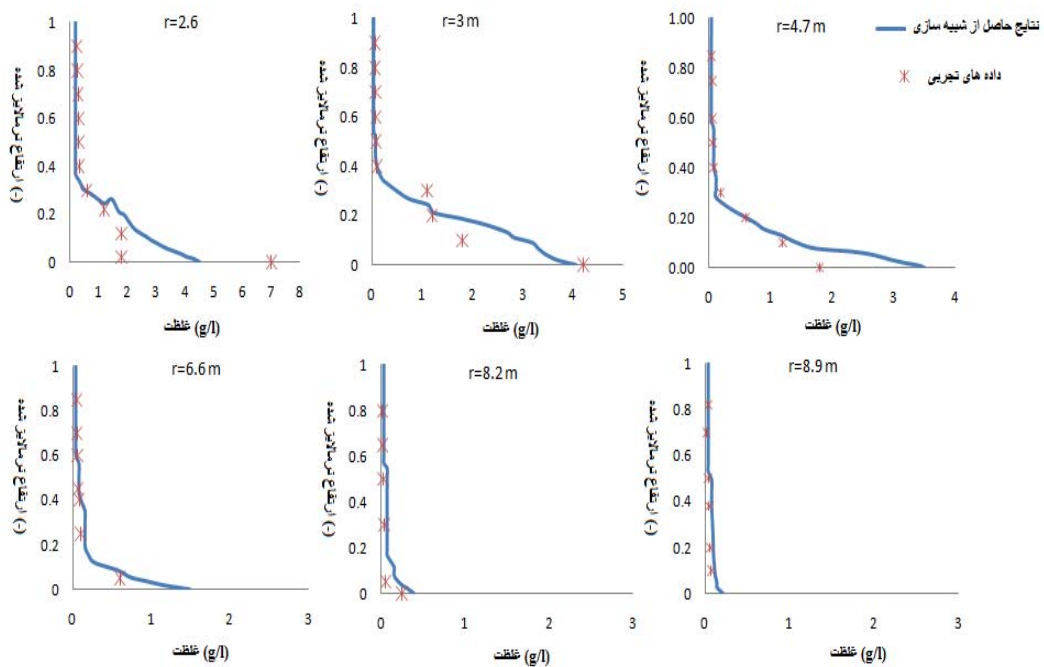
$$K_1 = AC^2 + BC \quad (22)$$

در معادله (۲۲)، $A=0.00319m^{11/2}kg^{-3/2}s^{-1}$ و $B=0.0146 m^{5/2}kg^{-1/2}s^{-1}$ ثابت هستند. با توجه به نتایج ویژ و همکارانش، فرض می‌شود که برای $C \geq C^*=2 kgm^3$ مستقل از غلظت است و برابر با مقدار متوسط $K_2_{ave}=0.0436 kg^{1/2}m^{-1/2}s^{-1/2}$ می‌باشد. برای اینکه ویسکوزیته آب وقتی که غلظت به صفر میل می‌کند به دست آید، فرض شده است که K_2 در بازه $0 \leq C < C^*$ طبق معادله (۲۳) به صورت خطی با غلظت تغییر می‌کند [7]:

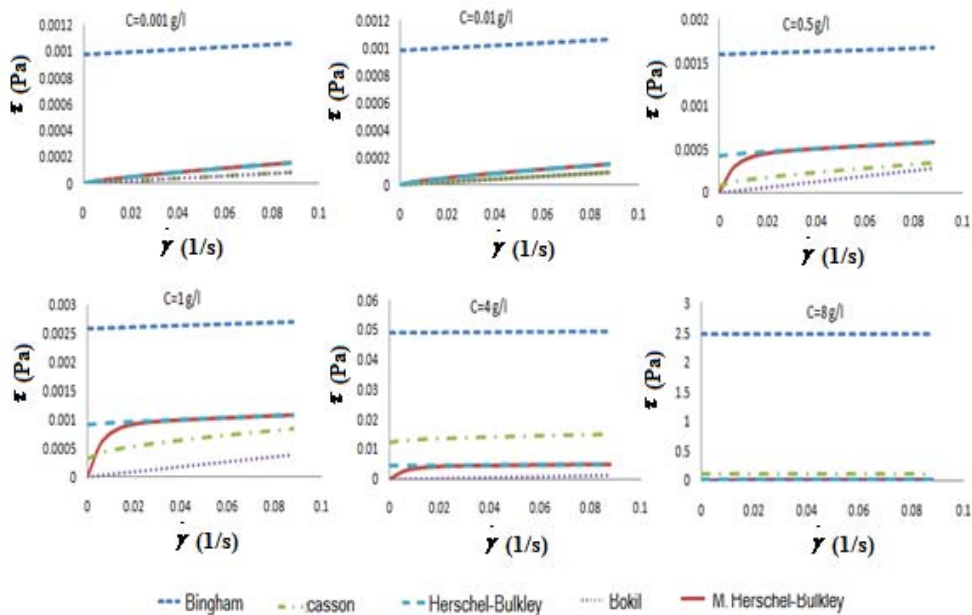
$$K_2 = \mu^{1/2} + \left(\frac{K_{2,ave} - \mu^{1/2}}{C^*} \right) C \quad (23)$$

در این مقاله مدل‌های ویسکوزیته ثابت، بوکیل، هرشل بالکلی اصلاح شده، کازن و بینگهام مورد مقایسه قرار گرفته‌اند.

مقایسه مدل‌های ناپایا و شبه پایا در تحلیل ...



شکل ۳ مقایسه داده‌های تجربی با نتایج شبیه سازی



شکل ۴ نمودارهای تنش برشی بر حسب نرخ برش در غلاظت‌های مختلف برای مدل‌های غیر نیوتینی مختلف

سازی در اینجا ارائه نگردیده است، تعداد سلول‌های محاسباتی ۱۵۰۰۰ انتخاب شد. قابل ذکر است که در

بعد از بررسی اندازه‌های مختلف سلول‌ها و تایید عدم وابستگی حل به مشبندی که به منظور خلاصه

هرشل بالکلی یک تنفس تسلیم را ارائه می دهد. در بین این مدل‌ها، مدل بوکیل کمترین تنفس برشی را در همه غلظت‌ها ارائه می دهد.

بعد از مقایسه انجام شده، نتایج شبیه‌سازی جهت مقایسه عملکرد تانک در مدل‌های رئولوژیکی مختلف در شکل‌های (۵ و ۶) ارائه شده‌اند. با توجه به شکل (۵) سیال بینگهام و کازن ارتفاع‌های توده لجن را در شعاع-های مختلف تانک به صورت قابل توجهی بیشتر از حد واقعی ارائه می دهند. این رفتار را می‌توان بدین صورت توجیه کرد که مدل بینگهام همانطور که از شکل (۴) پیداست تنفس‌های برشی بالاتری را نسبت به سایر مدل‌ها می دهد. بنابراین تخمین فراتر از حد واقعی ارتفاع لجن توسط این مدل می‌تواند به واسطه ویسکوزیته بالایی باشد که ارائه می دهد.

ارتفاع لجن در روی سطح شبیدار کف تانک هم به نیروهای ویسکوز و هم به نیروی ثقلی وابسته است. باید توجه داشت که افزایش غلظت هم نیروهای ویسکوز و هم نیروی ثقلی را افزایش می دهد که در صورت بکارگیری مدل بینگهام افزایش نیروهای ویسکوز خیلی بیشتر از نیروی ثقلی است؛ همین امر سبب حرکت کننده سیال بینگهام روی سطح شبیدار می شود که از پروفایل سرعت افقی ارائه شده در شکل (۶) نیز مشهود است؛ حرکت کننده سیال به معنی تجمع بیشتر لجن در کف و افزایش ارتفاع لجن می باشد. در مورد مدل کازن روند تغییر تقریباً با مدل بینگهام یکی است. این مدل همچون مدل بینگهام دارای تنفس تسلیم می باشد و در غلظت‌های رو به بالا تنفس‌های برشی بالاتری می دهد (شکل ۴). با توجه به شکل (۵) این مدل نیز نمی‌تواند در تعیین توزیع مناسب غلظت درون تانک مفید واقع شود. همچنین با توجه به شکل (۶) سیال کازن همچون بینگهام در کف تانک سرعت‌های کمتری را ارائه می دهد.

تمامی محاسبات، دبی سیال ورودی m^3/s ۰/۱۹۱ و نسبت جریان برگشتی، RAS ۰/۴۱ و غلظت سیال ورودی g/l ۲ در نظر گرفته شده است.

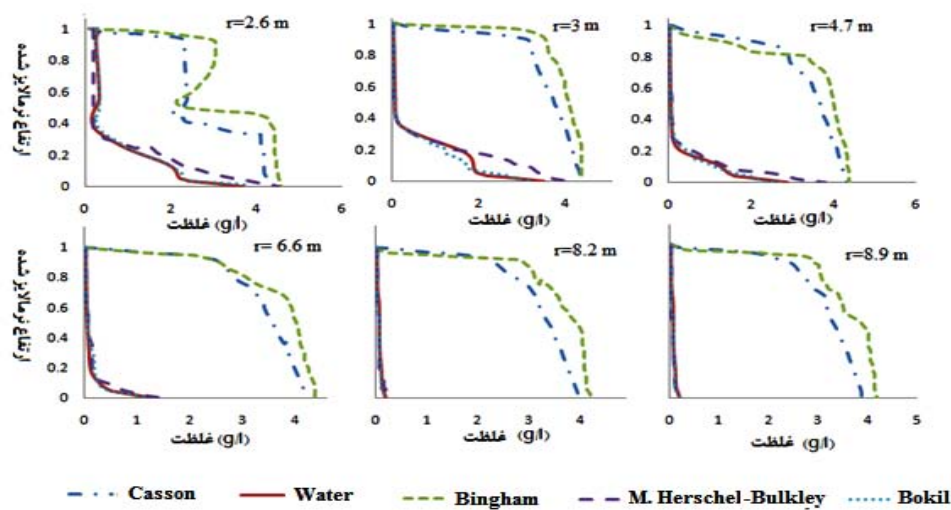
نتایج و بحث

نتایج حاصل از شبیه‌سازی برای توزیع غلظت در شکل (۳) ارائه شده است. در این شکل، نتایج با داده‌های تجربی ارائه شده در پژوهش دی‌کلرک، مورد مقایسه قرار گرفته است. ارتفاع نرمال شده، نسبت ارتفاع نقطه مورد بررسی به ارتفاع کل تانک در شعاع مورد نظر می‌باشد. انحراف مشاهده شده در کف تانک را می‌توان ناشی از عدم مدل‌سازی مناسب تراکم لجن در این ناحیه دانست. در این مطالعه از وجود اسکرابر یا لجن روب در کف تانک صرفنظر شده است که آن نیز می‌تواند منبعی برای خطای ایجاد شده باشد.

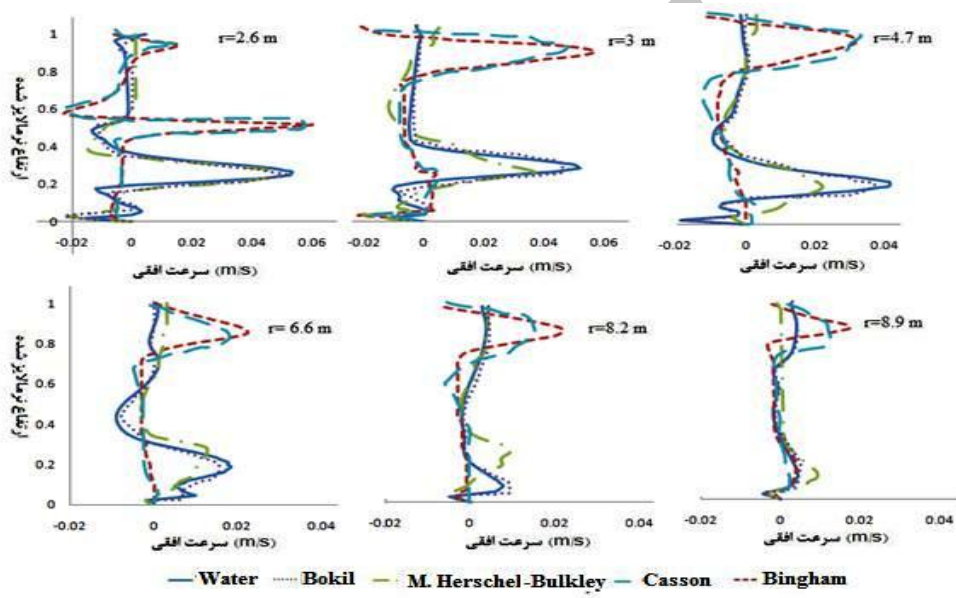
به منظور تعیین اثر مدل‌های رئولوژیکی مختلف روی عملکرد تانک ته نشینی، شبیه‌سازی‌های CFD مختلفی با بکارگیری مدل‌های مختلف ویسکوزیته انجام شد. قبل از مقایسه عملکرد تانک در مدل‌های رئولوژیکی مختلف، ابتدا نمودار تنفس برشی در مقابل رخ برشی برای غلظت‌های مختلف لجن رسم شده است تا مقایسه این مدل‌ها امکان پذیر باشد(شکل ۴).

شکل (۴) نشان می‌دهد که مدل بینگهام بیشترین تنفس برشی را در غلظت‌های ارائه شده دارد. تفاوت بین مدل هرشل بالکلی استاندارد و اصلاح شده را در شکل مشاهده می‌نمایید. مدل هرشل اصلاح شده هیچ تنفس تسلیمی را نمی‌دهد؛ که این بواسطه ترم نمایی است که به تنفس تسلیم اضافه شده است. همچنین رفتار مدل کازن در مقابل تغییرات غلظت نیز به گونه‌ای است که با افزایش غلظت تنفس برشی افزایش می‌یابد. این مدل نیز مانند مدل بینگهام و مدل

مقایسه مدل‌های ناپایا و شبه پایا در تحلیل ...



شکل ۵ پروفایل توزیع غلظت در مدل‌های مختلف نیوتینی و غیر نیوتینی



شکل ۶ پروفایل سرعت افقی در مدل‌های مختلف نیوتینی و غیر نیوتینی

(ویسکوزیته آب) و مدل بوكیل که هردو بدون هیچ تنش تسلیمی هستند منجر به ارتفاع توده لجن پایین می‌شوند؛ این در حالی است که مدل بینگهام تنش تسلیم بالایی را ارائه می‌دهد. همچنین در مورد مدل

برای حالت آب، غلظت‌های بالاتر فقط نیروی ثقل را بیشتر می‌کنند؛ چون ویسکوزیته در این حالت ثابت است. نتیجتاً سرعت در این حالت افزایش می‌یابد. همانطور که مشاهده می‌کنید مدل ویسکوزیته ثابت

اصلاح شده و بوکیل مورد مقایسه قرار گرفتند. نتایج نشان داد که به علت وجود تنش تسلیم در مدل‌های کازن و بینگهام، ویسکوزیته بیش از حد معقول محاسبه می‌شود که سبب پیش‌بینی بیش از حد ارتفاع لجن فعال می‌گردد.

در محدوده‌هایی که غلظت سیال کم است با نرخ-های برشی کمتری مواجه هستیم و مدل غیرنیوتی مناسب باستی بتواند تنش تسلیم مناسبی را در این نواحی ارائه دهد؛ در غیر اینصورت ویسکوزیته پیش‌بینی شده فراتر از حد واقعی خواهد بود. در مدل هرشنل بالکلی اصلاح شده با اضافه نمودن یک تابع نمایی به تنش تسلیم موجود در رابطه هرشنل بالکلی استاندارد، در واقع تنش تسلیم در نواحی غلظت پایین، کاهش می‌یابد. لذا به نظر می‌رسد که مدل هرشنل بالکلی استاندارد صحیح ترین مدل جهت پیش‌بینی جریان لجن فعال در تانک ته نشینی ثانویه باشد. از طرفی مدل بوکیل نیز نتایج خوبی را ارائه کرده است. با توجه به ساده‌تر بودن این مدل و اینکه تعداد پارامترهای کمتری را لازم دارد، استفاده از این مدل بیشتر از سایر مدل‌ها توصیه می‌شود.

فهرست علاطم

غلظت (kg/m ³)	C
ثوابت تجربی در معادله آشفتگی	σ_e , σ_k , C_μ , C_2 و C_1
شتاب گرانش (m/s ²)	g_a
انرژی جنبشی آشفتگی (m ² /s ²)	K_a
ثوابت مدل هرشنل بالکلی	n, m
فشار ترمودینامیکی منهای فشار	P_y
هیدرواستاتیک در چگالی مرجع (kg/ms ²)	P_s
تولید انرژی جنبشی به واسطه	

هرشنل بالکلی اصلاح شده، باید گفت که این مدل همانطور که گفته شد قادر تنش تسلیم است؛ بنابراین برخلاف مدل‌های بینگهام و کازن در غلظت‌های کم ویسکوزیته در آن زیاد نیست و این سبب می‌شود که ارتفاع کمتری را پیش‌بینی کند. همچنین به دلیل اینکه اثر رئولوژی را بر حرکت سیال به حساب می‌آورد، نتایج مناسبی ارائه می‌دهد و به نظر می‌رسد که صحیح ترین مدل جهت پیش‌بینی جریان لجن فعال در تانک ته نشینی حاضر باشد. در کل می‌توان بیان کرد که انتخاب مدل رئولوژیکی مناسب بسته به مشخصات لجن دارد و در حالی که مثلاً در غیاب مواد منعقد کننده نیروی وزنی کمتر است مدل‌های نیوتی جواب-های بهتری ارائه می‌دهند. چون در این حالت اگر از مدل‌های غیرنیوتی و دارای تنش تسلیم استفاده شود به دلیل افزایش ویسکوزیته لجن با غلظت و کم بودن نیروی ثقل، ارتفاع لجن به صورت غیر واقعی افزایش می‌یابد. حالتی که در این مقاله نیز با آن مواجه هستیم.

جمع بندی

در این مقاله، جریان لجن فعال در یک تانک ته نشینی دایروی شبیدار مورد استفاده در تصفیه فاضلاب، به صورت عددی حل و بررسی شد. ابتدا حل عددی با داده‌های تجربی ارائه شده توسط دی‌کلرک مورد مقایسه قرار گرفت. نتایج بجز در نواحی نزدیک کف تانک، توافق خوبی با داده‌های تجربی ارائه داد. این اختلاف را می‌توان ناشی از عدم مدل‌سازی مناسب تراکم لجن در کف تانک و یا عدم در نظر گرفتن لجن روب دانست.

با توجه به نظر اکثر محققان، لجن فعال موجود در تانک‌های ته نشینی ثانویه ماهیتی غیر نیوتی دارند. لذا در این مقاله چهار مدل بینگهام، کازن، هرشنل بالکلی

سرعت ته نشینی (m/s)	v_s	برش (kg/ms ³)
نرخ اتلاف انرژی جنبشی (m ² /s ³)	ϵ	مُؤلفه سرعت در جهت محور (m/s)
ویسکوزیته موثر (m ² /s)	v_{eff}	مُؤلفه سرعت در جهت شعاع (m/s)
چگالی توده (kg/m ³)	ρ	تنش برشی (kg/ms ²)
عدد اشمیت	σ_s	ویسکوزیته مولکولی (kg/ms)
کسر حجمی	ϕ	نرخ برشی (1/s)

مراجع

1. D. Brennan, "The numerical simulation of tow-phase flow in settling tank", PhD dissertation, Imperical College of Science, Technology and Medicine, London, (2001).
2. S. Zhou, W.L Bevis, M. Echo Leong, H.S. Kan, S.K. Lp, and T.K. Li, "Optimized Center-feed clarifier design for the Tai Po Sewage Treatment Works, Hong Kong", Water and Environment Journal, vol. 24, pp. 140-146, (2010).
3. D. Lakehal, P. Krebs, J. Krijgsman , W. Rodi, "Computing shear flow and sludge blanket in secondary clarifiers", Journal of Hydraulic Engineering, vol. 125(3), pp. 253-262, (1999).
4. E. W. Adams, and W. Rodi, "Modeling flow and mixing in sedimentation tanks", Journal of Hydraulic Engineering, vol. 116(7), pp. 895-913, (1990).
5. D. A. Lyn, A. Stamou, and W. Rodi, " Density currents and shear-induced flocculation in sedimentation tanks", Journal of Hydraulic Engineering, vol. 118, pp. 849-867, (1992).
6. B. De Celercq, "Computational Fluid Dynamics of settling tanks: Developments of experiments and rheological, settling, and scraper sub-models", PhD Thesis, The University of Gent, pp. 324, (2003).
7. M. Weiss, B. Plósz, K. Essemiani, and J. Meinhold, "Suction-lift sludge removal and non-Newtonian flow behaviour in circular secondary clarifiers: Numerical modeling and measurements", J. Chem. Eng., vol. 132, pp. 241-255, (2007).
8. I. Taka'cs, G. G. Patry, and D. Nolasco, "A dynamic model of the clarification-thickening process" Water Res., vol. 25(10), pp. 1263-1271, (1991).